

## 2.) Endlicher Wellenzug

$$f(t) = \begin{cases} e^{i\omega_0 t} & -T < t < T \\ 0 & \text{sonst} \end{cases}$$

$$\Rightarrow g(\omega) = \frac{1}{\sqrt{2\pi}} \int_{-T}^T e^{i(\omega_0 - \omega)t} dt = \frac{1}{\sqrt{2\pi}} \frac{1}{i(\omega_0 - \omega)} e^{i(\omega_0 - \omega)t} \Big|_{-T}^T$$

$$= \sqrt{\frac{2}{\pi}} \frac{\sin((\omega_0 - \omega)T)}{\omega_0 - \omega}$$

## 3.) Gauß-Puls

$$f(t) = f_0 e^{-2t^2}$$

$$\Rightarrow g(\omega) = \frac{f_0}{\sqrt{2\pi}} \int_{-\infty}^{+\infty} e^{-2t^2 - i\omega t} dt = \frac{f_0}{\sqrt{2\pi}} e^{-\omega^2/4} \int_{-\infty}^{+\infty} e^{-2(t + \frac{i\omega}{2})^2} dt$$

quadratische  
Ergänzung im Exponenten

$$= \frac{f_0}{\sqrt{2\pi}} e^{-\omega^2/4} \underbrace{\int_{-\infty}^{+\infty} e^{-2t^2} dt}_{= \sqrt{\frac{\pi}{2}}} = \frac{f_0}{\sqrt{2\lambda}} e^{-\omega^2/4\lambda}$$

## 6.3. Anwendungen der Fouriertransformation

### 1.) Geplusterter harmonischer Oszillator

$$\ddot{x} + 2\gamma \dot{x} + \omega_0^2 x = f(t)$$

$f(t)$ : beliebige Funktion

$$f(t) = \frac{1}{\sqrt{2\pi}} \int_{-\infty}^{+\infty} g(\omega) e^{i\omega t} d\omega$$

Ansatz:  $x(t) = \frac{1}{\sqrt{2\pi}} \int_{-\infty}^{+\infty} y(\omega) e^{i\omega t} d\omega$

Dann ist  $\mathcal{F}[x'' + 2\gamma x' + \omega_0^2 x] = \mathcal{F}[f]$

$$\Rightarrow (-\omega^2 + 2i\gamma\omega + \omega_0^2) g(\omega) = g(\omega)$$

$$\Rightarrow g(\omega) = \frac{g(\omega)}{\omega_0^2 - \omega^2 + 2i\gamma\omega}$$

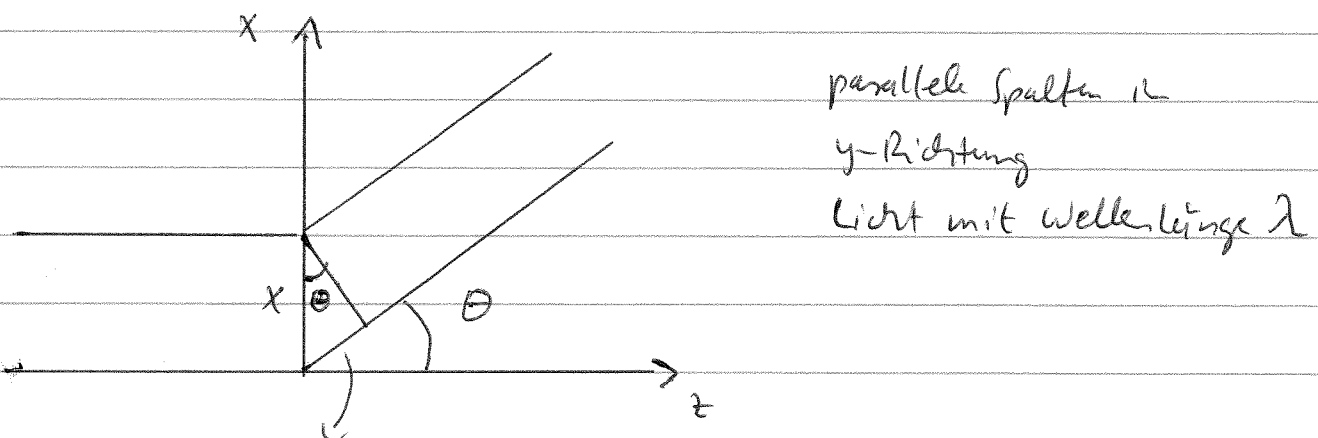
mit (analog zum Fall periodischer Funktionen mit Fourierreihen):

$$|g(\omega)|^2 = \frac{|g(\omega)|^2}{(\omega_0^2 - \omega^2)^2 + 4\gamma^2\omega^2} = \frac{|g(\omega)|^2}{[\omega^2 - (\omega_0^2 - 2\gamma^2)]^2 + 4\gamma^2(\omega_0^2 - \gamma^2)}$$

Damit ist

$$y(t) = \frac{1}{\sqrt{2\pi}} \int_{-\infty}^{+\infty} \frac{g(\omega)}{\omega_0^2 - \omega^2 + 2i\gamma\omega} e^{i\omega t} d\omega$$

## 2.) Beugungsfilter



Amplitude

$$\Rightarrow E(\theta) = E_0 \int_{-\infty}^{+\infty} T(x) e^{-2\pi i x \sin \theta / \lambda} dx$$

Transmissions-  
funktion

Phasenverschiebung

$$\int_{-\infty}^{+\infty} T(x) dx = 1$$

also  $E(\theta) = F[\tau] (2\pi \sin \theta / \lambda)$

$$I(\theta) = |E(\theta)|^2$$

Beispiele für  $\tau_b(x)$ :

a)  $\tau_b(x) = \begin{cases} \frac{1}{b} & |x| \leq b/2 \\ 0 & \text{sonst} \end{cases}$  Spaltbreite  $b$

$$\Rightarrow E(\theta) = \frac{E(0)}{b} \int_{-b/2}^{+b/2} e^{-2\pi i x \sin \theta / \lambda} dx = E(0) \frac{\sin(\pi b \sin \theta / \lambda)}{\pi b \sin \theta / \lambda}$$

und

$$I(\theta) = |E(\theta)|^2 = I_0 \left[ \frac{\sin(\pi b \sin \theta / \lambda)}{\pi b \sin \theta / \lambda} \right]^2$$

b)  $N$  gleiche Spalte im Abstand  $d > b$

$$\tau_N(x) = \frac{1}{N} \sum_{n=1}^N \tau_b(x-nd)$$

$$\Rightarrow E(\theta) = \frac{1}{N} \sum_{n=1}^N F[\tau_b(x-nd)] (2\pi \sin \theta / \lambda)$$

~~$\tau_b(x-nd) = \tau_b(x) e^{-2\pi i n d \sin \theta / \lambda}$~~

$$= F[\tau_b] e^{-2\pi i N d \sin \theta / \lambda} e^{-2\pi i n d \sin \theta / \lambda}$$

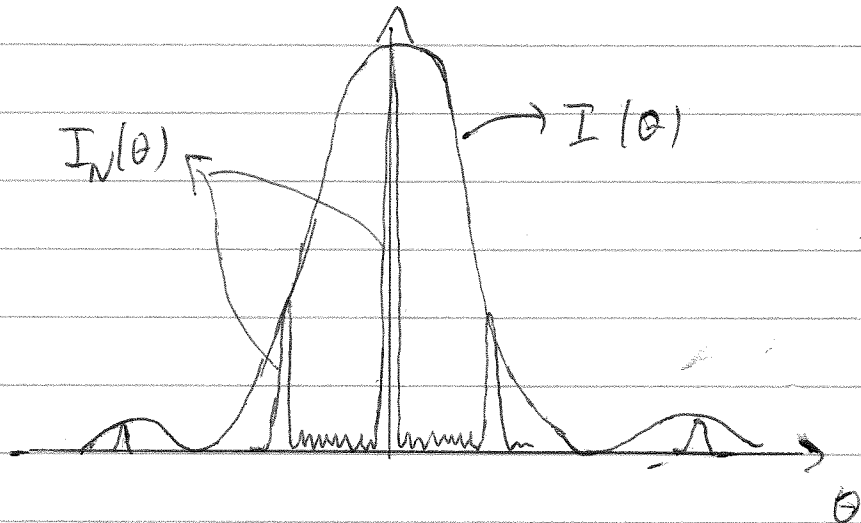
nach Eigenschaft (3)

$$= E(\theta) \frac{1}{N} \sum_{n=1}^N e^{-2\pi i n d \sin \theta / \lambda} =$$

für einen Spalt

$$= E(\theta) \frac{e^{-2\pi i d \sin \theta / \lambda}}{N} \frac{1 - e^{-2\pi i N d \sin \theta / \lambda}}{1 - e^{-2\pi i d \sin \theta / \lambda}}$$

$$\Rightarrow I_N(\theta) = I(\theta) \underbrace{\left[ \frac{\sin(N\pi d \sin \theta / \lambda)}{N \sin(\pi d \sin \theta / \lambda)} \right]}_{\text{ein Spalt}}^2$$



### 3) Mehrdimensionale Fouriertransformationen

Beispiel: elektromagnetische Felder in  $(t, \vec{r})$ :

$$\tilde{B}(t, \vec{r}) = \frac{1}{(2\pi)^2} \iiint \tilde{B}(w, \vec{h}) e^{-i(\omega t - \vec{h} \cdot \vec{r})} d^3 h dw$$

↓  
Lorentz-Invariante

$$\tilde{B}(w, \vec{h}) = \frac{1}{(2\pi)^2} \iiint \tilde{B}(t, \vec{r}) e^{i(\omega t - \vec{h} \cdot \vec{r})} d^3 r dt$$

analog für andere Felder

Beachte: Diese Felder bestehen aus 3 Komponenten auf die die Fouriertransformation separat angewandt wird.